

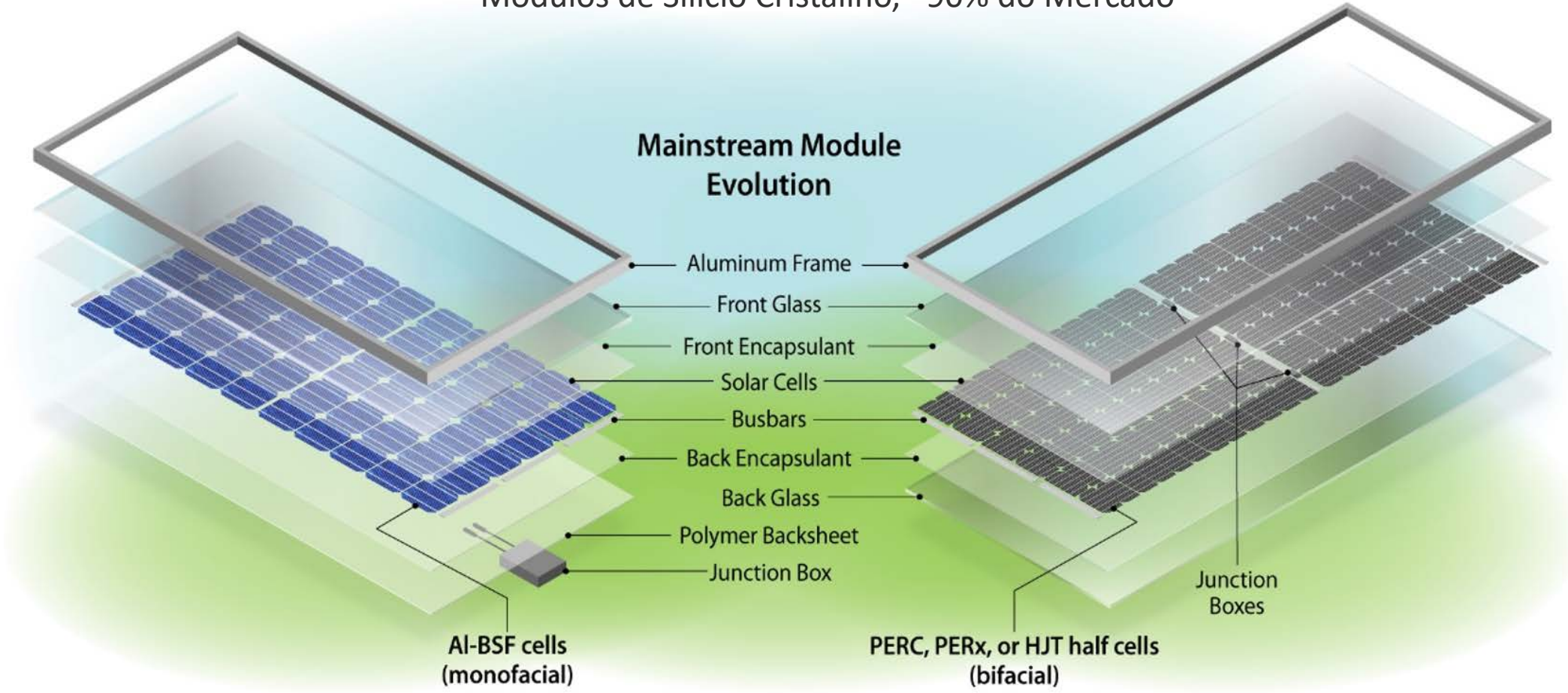
Bifacial PV: de tudo um pouco

Dr. Silvana Ovaitt
Seminário na Fotovoltaica-UFSC
Maio 23, 2024

Florianópolis, SC

A tecnologia fotovoltaica evolui constantemente

Módulos de Silício Cristalino, ~90% do Mercado

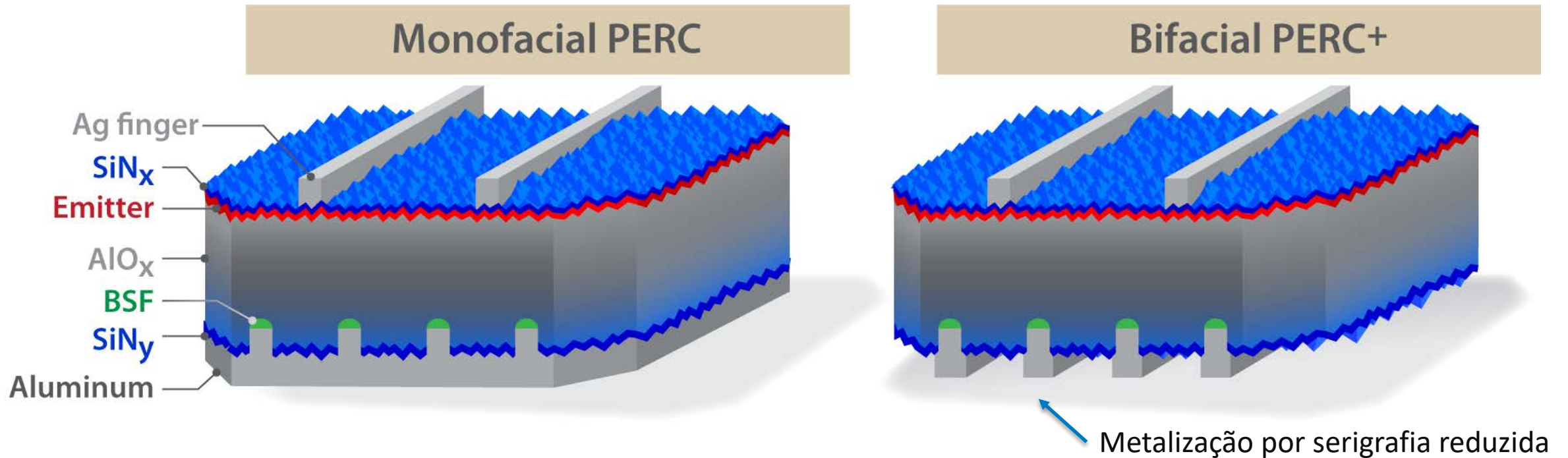


Módulo Pre-2015, vida útil de 20-25 anos

Módulo 2023, vida útil 35 anos

Ovatt & Mirlitz et al, 2022. "PV in the Circular Economy, A Dynamic Framework Analyzing Technology Evolution and Reliability Impacts." *ISCIENCE* <https://doi.org/10.1016/j.isci.2021.103488>.

Tecnologia de células PERC – transição chave para bifacial



bifacialidade $\phi = \frac{P_{Rear}}{P_{Front}} =$

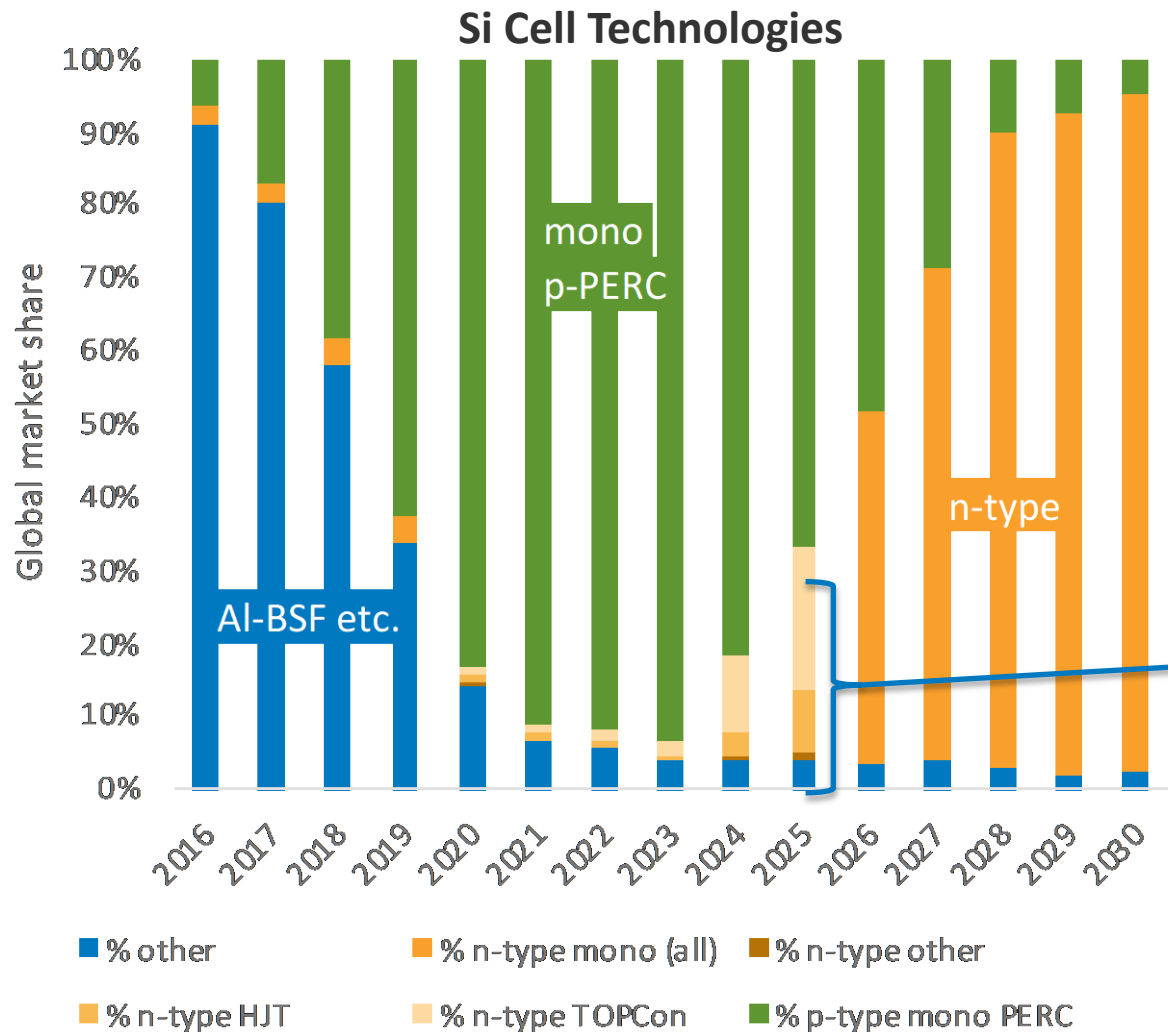
0.65-0.80
(p-PERC)

0.75-0.90
(n-PERT)

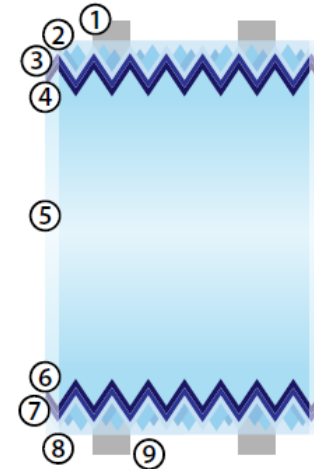
0.85 – 0.95
(Si Heterojunction)

A evolução não termina

$$\text{bifacialidade } \phi = \frac{P_{Rear}}{P_{Front}}$$

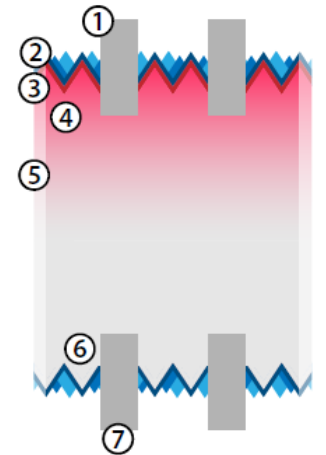


HJT
23-25% cell efficiency
 $\phi \sim 0.85 - 0.95$



1. Frontside fingers (busbars optional) comprised of low-temperature screen-printed Ag pastes or electroplated Ni/Cu/Sn/Ag
2. TCO by PVD (typically ITO for high optical transmission and low sheet resistance)
3. p^+ doping and full-area emitter formation by PECVD of a-Si:H
4. Intrinsically doped a-Si:H by PECVD
5. High lifetime n-type base wafer
6. Intrinsically doped a-Si:H by PECVD
7. n^+ doping and full-area BSF formation by PECVD of a-Si:H
8. TCO by PVD (typically ITO for high optical transmission and low sheet resistance)
9. Backside fingers (busbars optional)

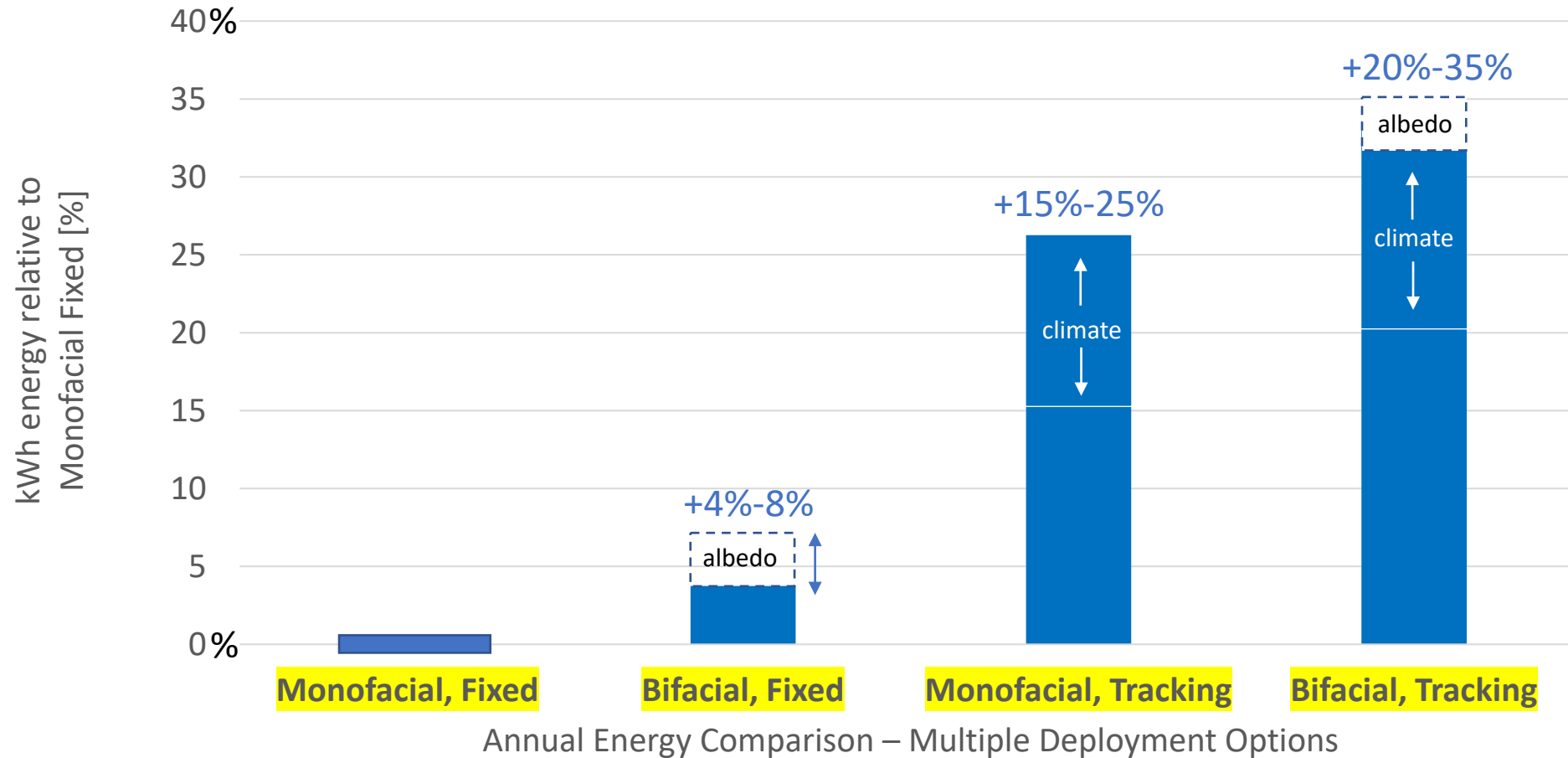
TOPCon
21-23% by SP, 21-26% by PVD
 $\phi \sim 0.8$



1. Ag and Al front metallization by screen-printing or PVD
2. SiN_x ARC and passivation layer by PECVD
3. PECVD or ALD of AlO_x surface passivation layer
4. p^+ doping and full-area emitter formation by ion implantation or BBr_3 diffusion
5. High lifetime n-type base wafer
6. Tunnel oxide passivated contact (TOPCon) layer formed by PECVD or LPCVD of doped a-Si or poly-Si layers
7. Ag rear metallization (sometimes full-area) by screen-printing or PVD

Por que bifacial?

Grandes melhorias na produção de energia



Agenda

- 1** **Motivação**
- 2** **Pesquisa de PV bifacial no NREL**
- 3** **Como posicionar sensores de irradiância**
- 4** **Otimização do Albedo**
- 5** **AgriPV**
- 6** **Ferramentas de modelagem bifacial & AgriPV**
- 7** **Oportunidades no NREL**



75 kW bifacial HSAT
5 tecnologías bifaciales

3 anos de datos Open-Source



<https://datahub.duramat.org/dataset/best-field-data>

Comparando PV bifacial com monofacial

O ganho para um Sistema bifacial é determinado comparando o rendimento energético [kWh] ou o Performance Ratio [KWh/KW] de ambos sistemas

$$BG = \left(\frac{Y_{bifacial}}{Y_{monofacial}} - 1 \right) \times 100\%$$

$$BG_{Medido} = \left(\frac{PR_{bifi}}{PR_{mono}} - 1 \right) \times 100\%$$



Silfab module photo



Comparando PV bifacial com monofacial

$$BG_{Medido} = \left(\frac{PR_{bifi}}{PR_{mono}} - 1 \right) \times 100\%$$

- Diferença de potência nominal
- Coeficiente de temperatura
- resposta à baixa luminosidade
- Orientação de montage
- Bifacialidade

$$BG_{Medido,bifacialidade} = \left(\frac{PR_{bifi}}{PR_{mono}} \underbrace{\frac{PR_{mono,model}}{PR_{bifi,model}}}_{\text{Fator de Correção}} - 1 \right) \times 100\%$$

Fator de Correção

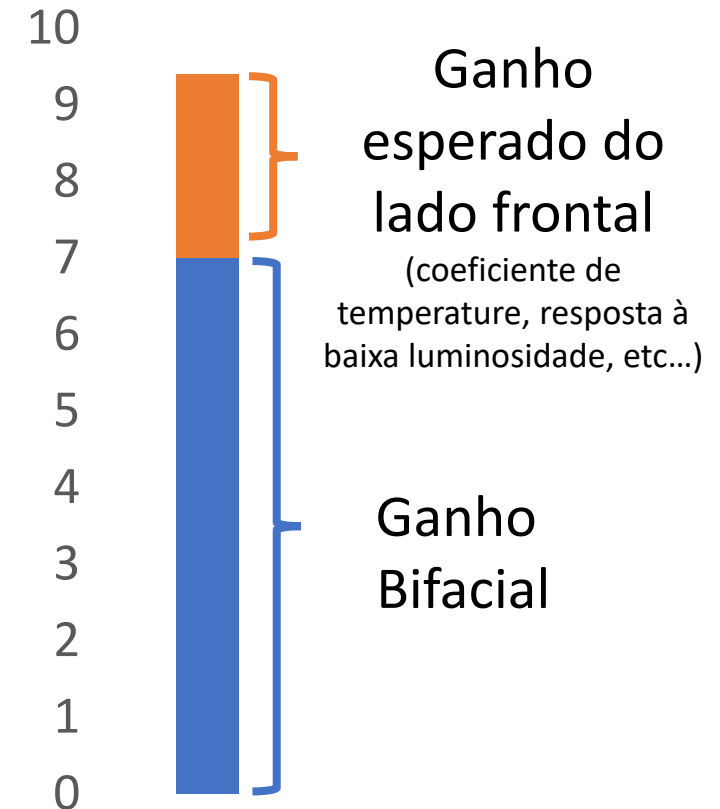
Comparando PV bifacial com monofacial

100 kW Silfab HJT,
2-up horizontal

100 kW Trina mcSi,
1-up vertical



H = 0.75, GCR = 0.35, Albedo = 0.2 (short grass)



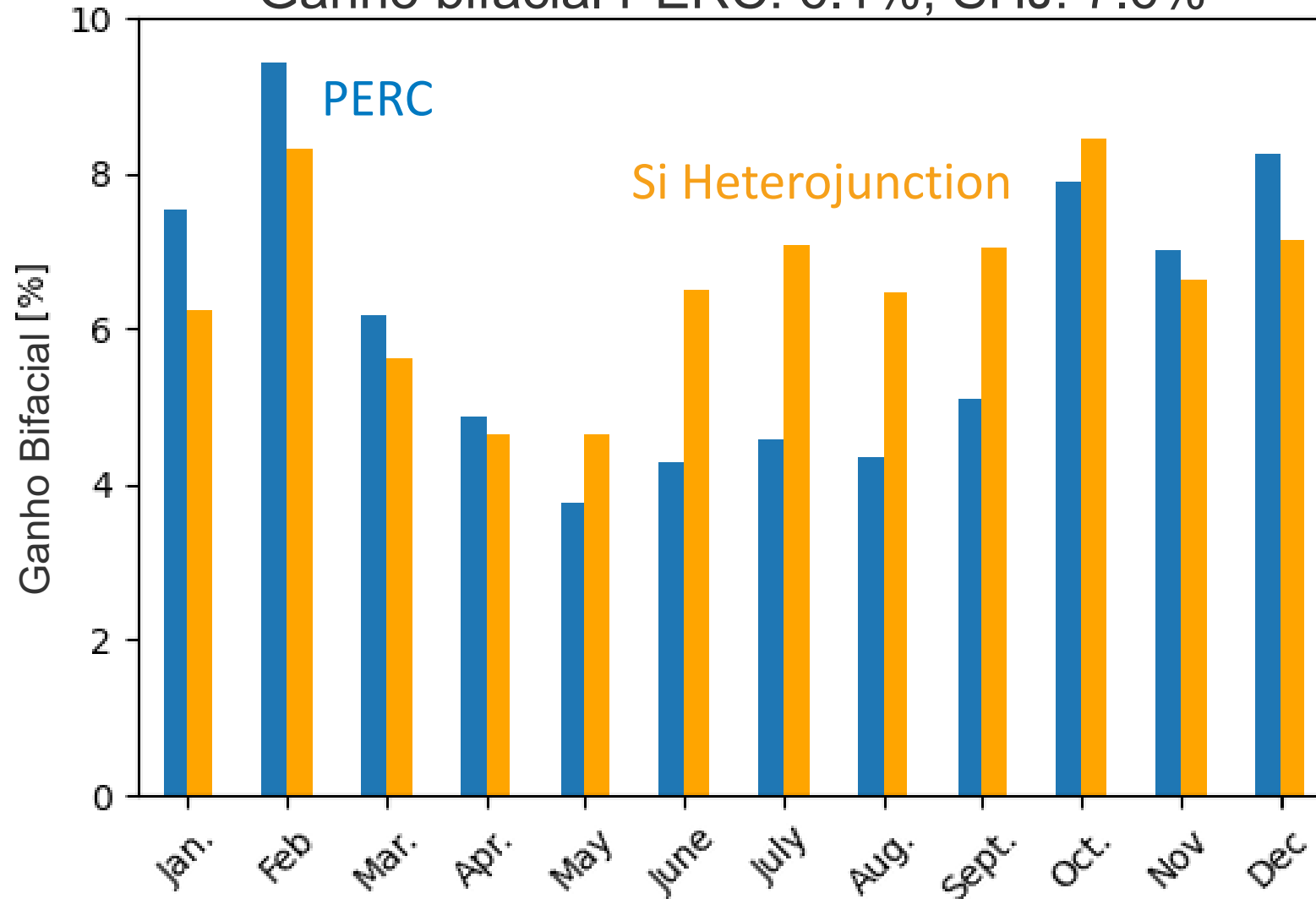
$$BG_{\text{Medido,bifacialidade}} = \left(\frac{PR_{bifi}}{PR_{mono}} \frac{PR_{mono,model}}{PR_{bifi,model}} - 1 \right) \times 100\%$$

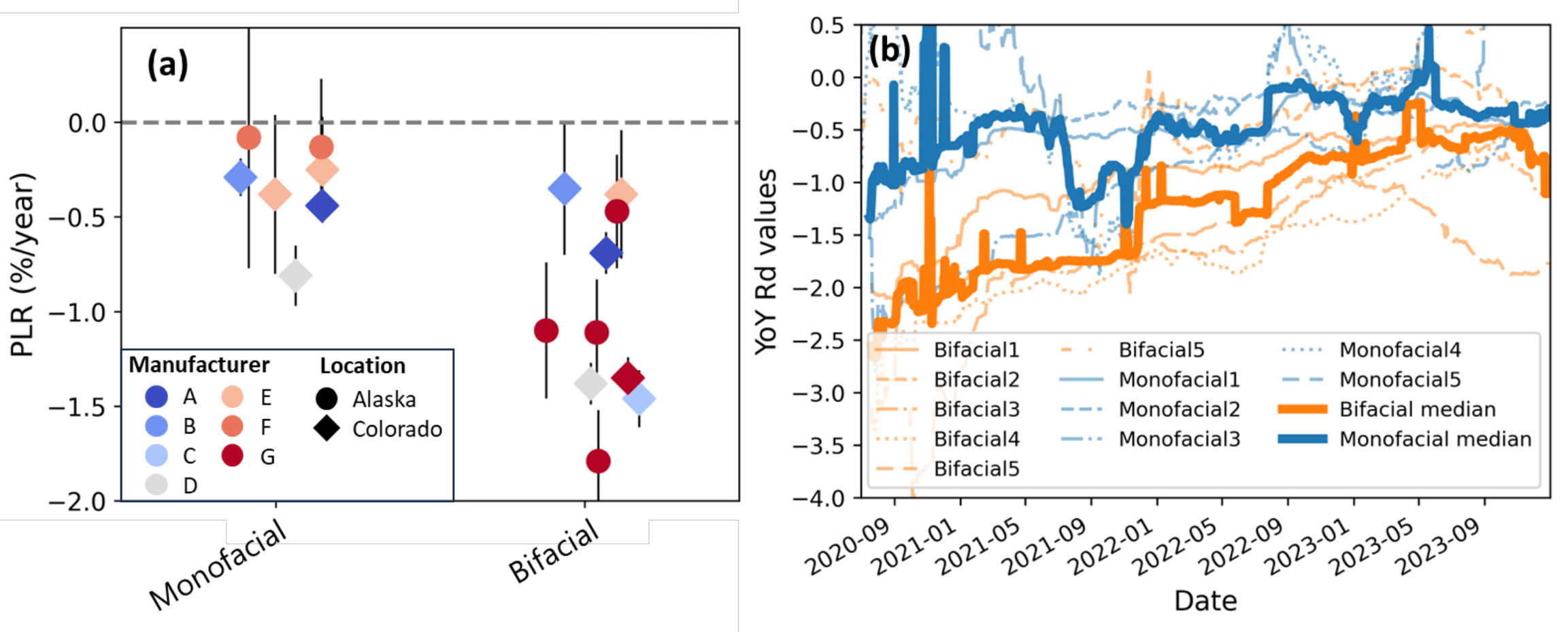
Ganho bifacial

$$\frac{\text{Energia bifacial}}{\text{Energia monofacial}} - 1 \quad [\%]$$

*Ganho de 3-anos, agrupado por mês

Ganho bifacial PERC: 6.1%; SHJ: 7.6%



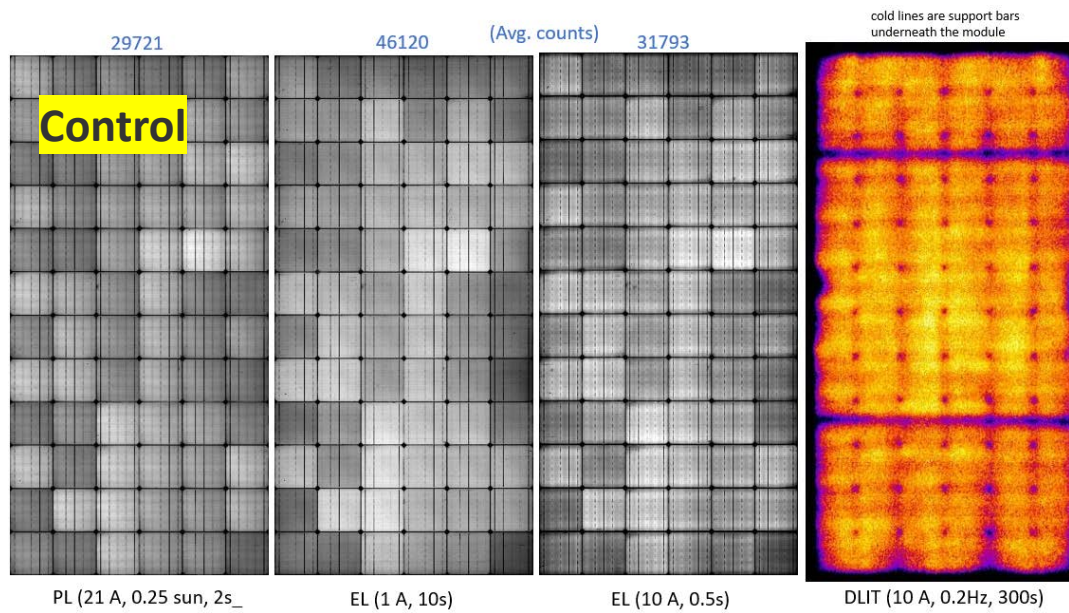
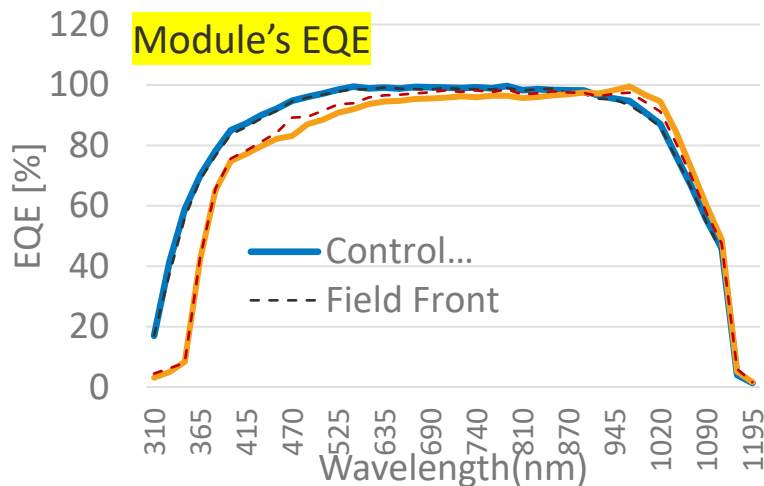


Done: IV Curves, Field IR, EL, PL, Low temp PL, Module QE Measurements, Hanheld Raman, Hanheld AR Coating
Destructive next: Hydrogen traces through d-SIMS, or Glow Discharge Optical Emissions Spectroscopy

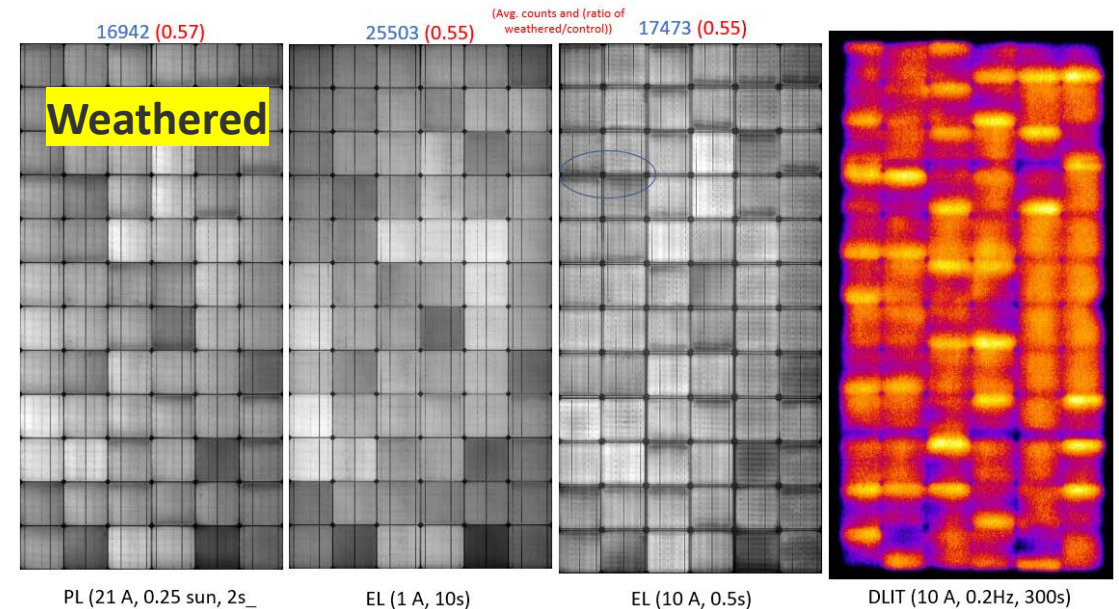
MFG A

pPERC, G/G, Full cell, Top JB, EVA

IV Curves Results	% Change
ISC Loss Front	-0.35%
ISC Loss Back	2.15%
Voc Loss Front	-1.39%
Voc Loss Back	-1.41%
FF Loss Front	-0.45%
FF Loss Back	-0.88%
Pmp Loss Front	-2.17%
Pmp Loss Back	-0.13%



For weathered module compared to control, overall luminescence intensity is down to about 55% of the control, suggesting a loss in voltage



. There are dark edge patterns (either top or bottom of cells) in high-current EL and PL, and hotter DLIT, suggesting these are areas with increased carrier recombination, perhaps loss of passivation.

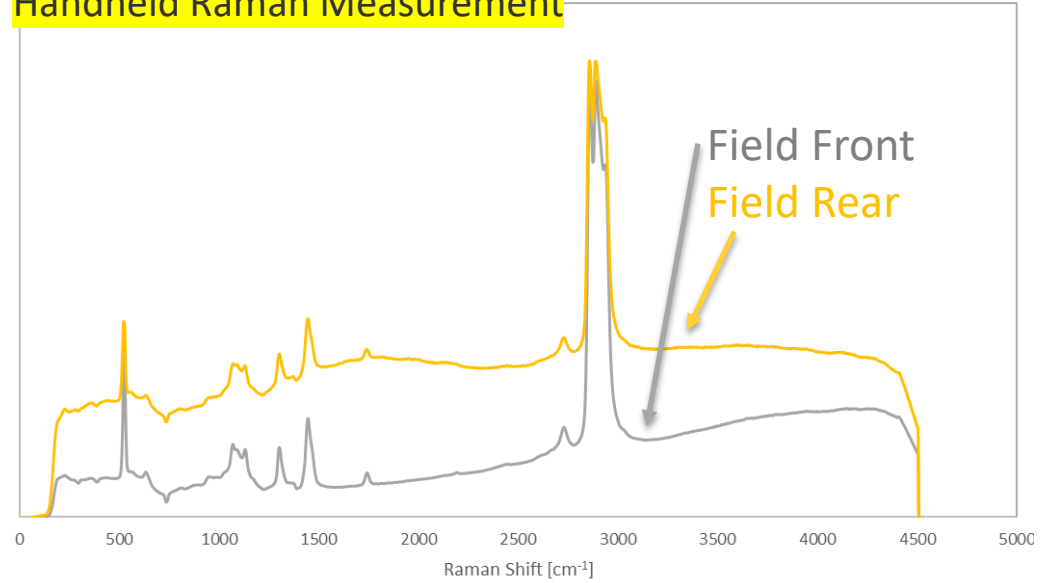
MFG C

pPERC, G/G, Half-cell, Center JB, EVA

IV Curves Results	% Change
ISC Loss Front	-0.30%
ISC Loss Back	-1.86%
Voc Loss Mono	-2.93%
Voc Loss Front	-1.92%
Voc Loss Back	-2.70%
FF Loss Mono	-2.81%
FF Loss Front	-0.34%
FF Loss Back	-1.00%
Pmp loss Mono	-2.27%
Pmp Loss Front	-2.54%
Pmp Loss Back	-5.45%

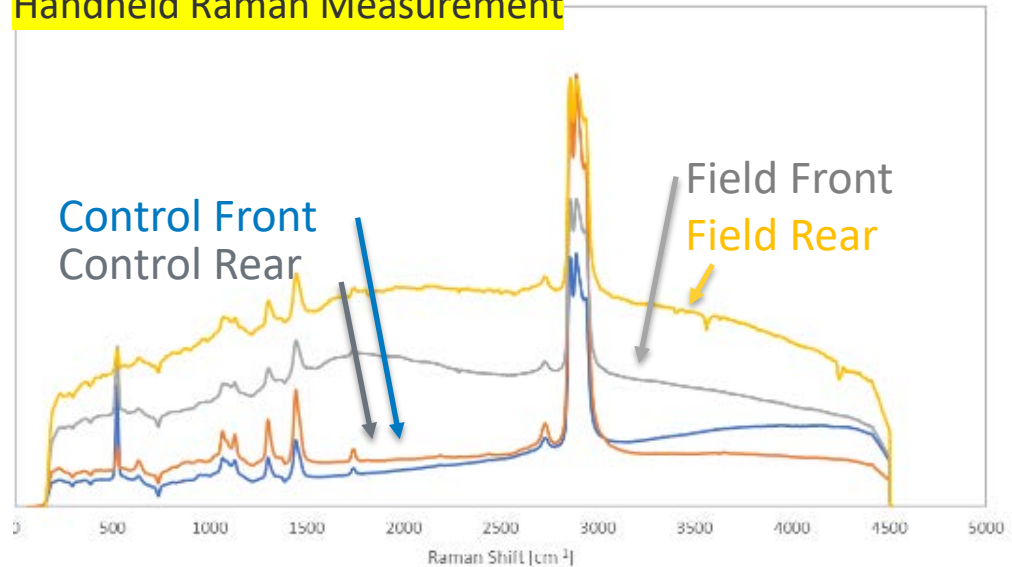
Monofacial

Handheld Raman Measurement

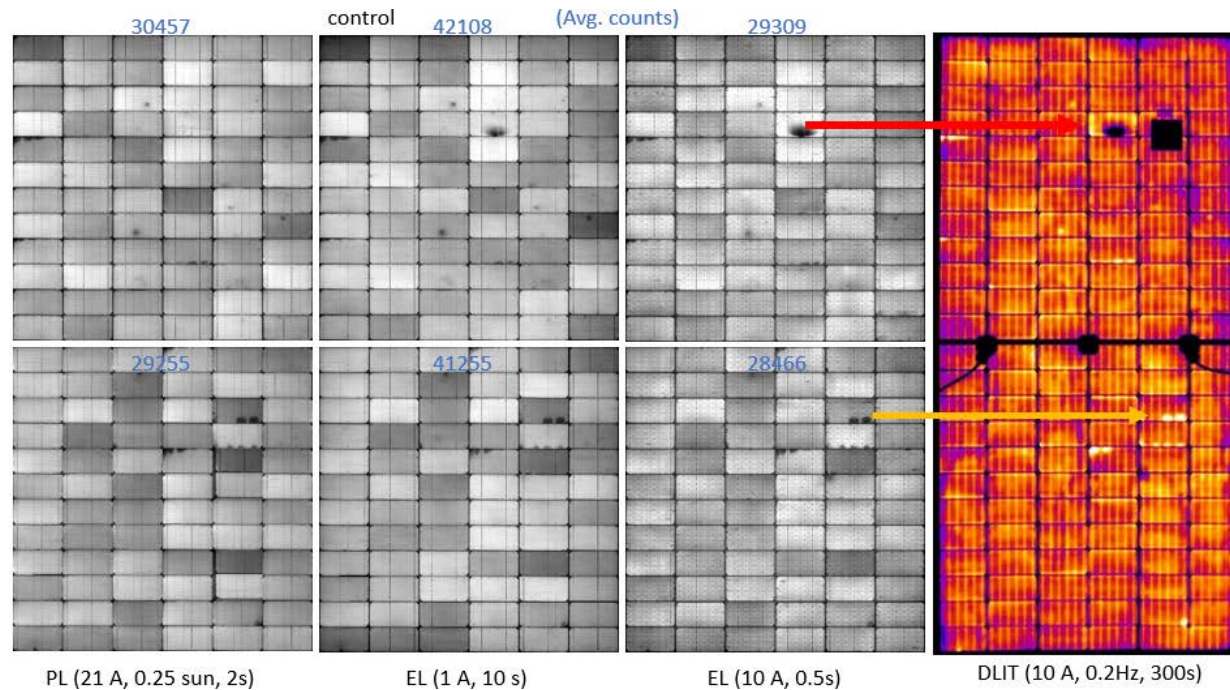


Bifacial

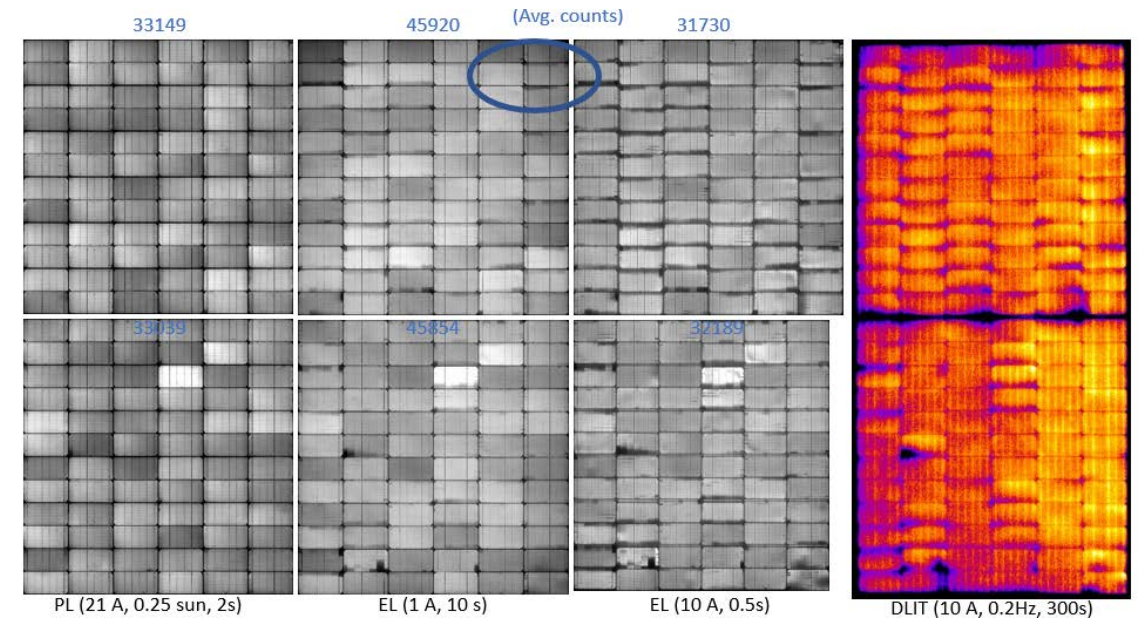
Handheld Raman Measurement



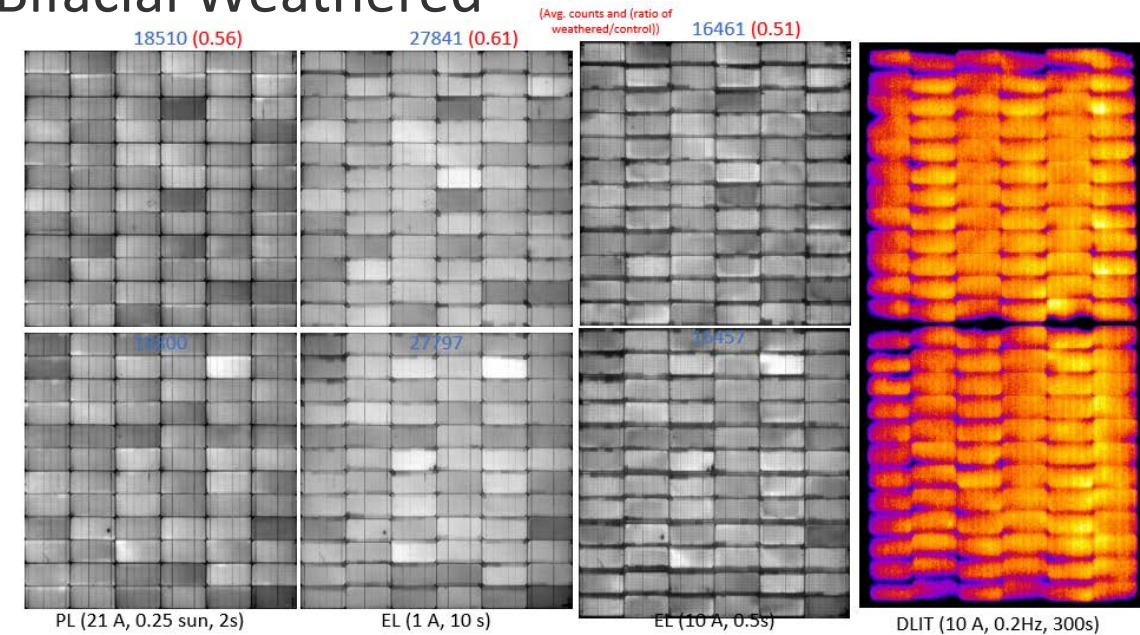
Monofacial Control



Bifacial Control



Bifacial Weathered



For weathered module compared to control, overall luminescence intensity is down to about $\sim 3/4$ of the control, suggesting a loss in voltage. There are a few patterns in high-current EL showing dark areas of higher resistance. DLIT dark areas here too, suggesting lower current density or broken grid fingers – possibly leading to reduced fill factor.

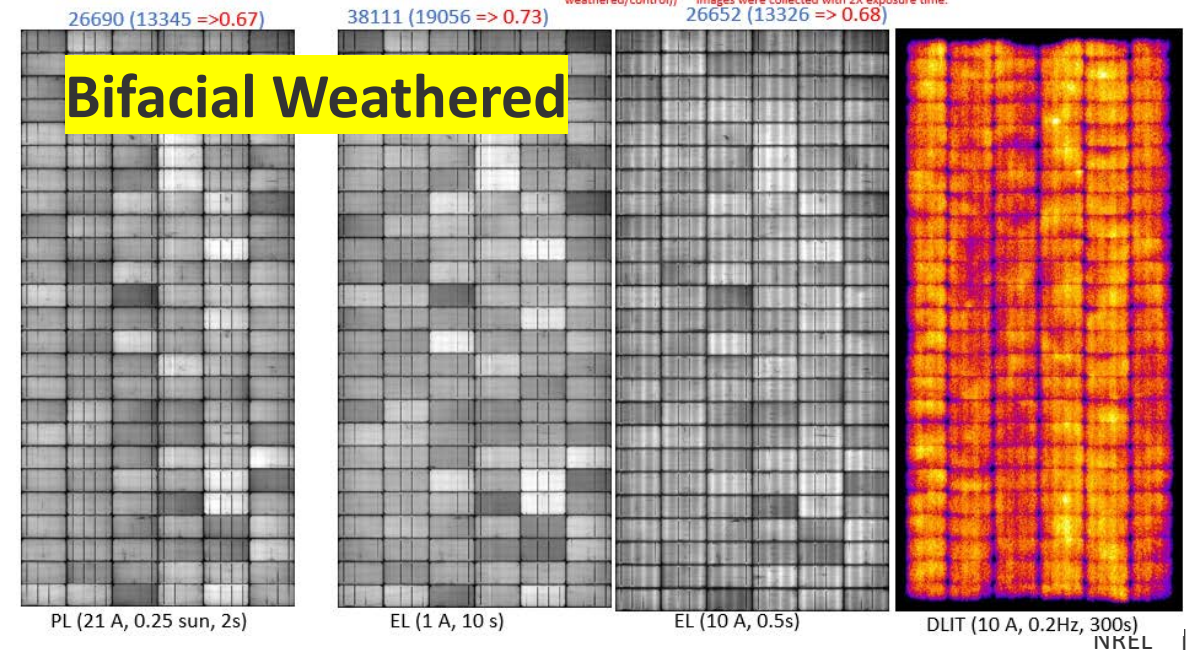
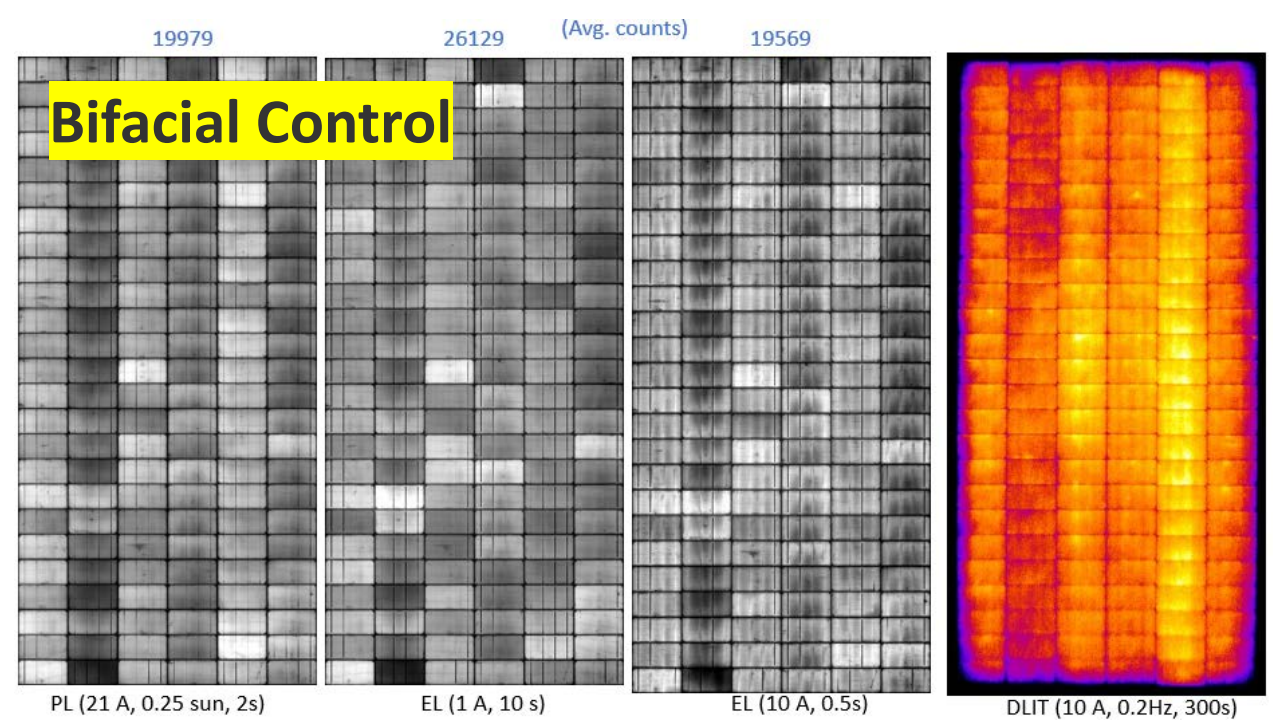
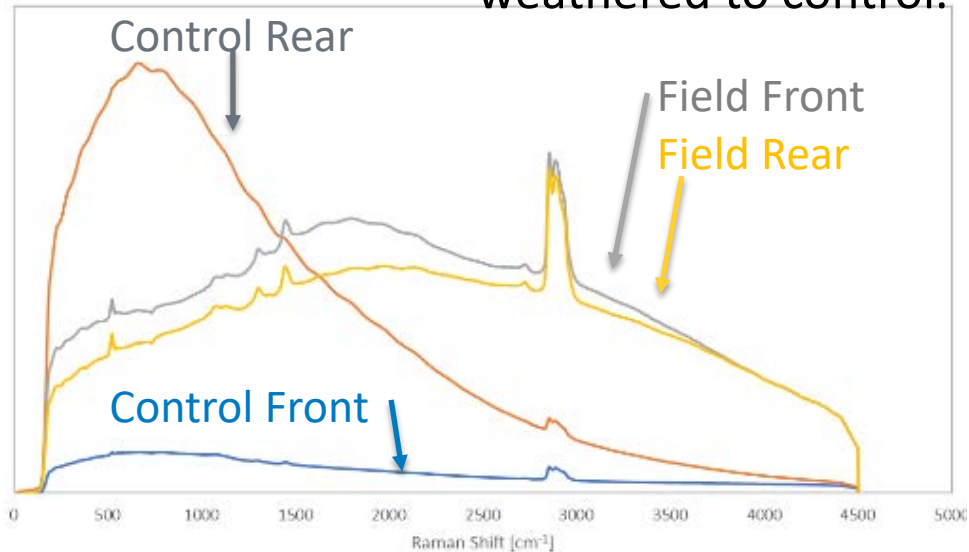
MFG E

HJT, G/G, Half cell, JB center, "PE/EBA"

IV Curves Results	% Change
Perdida ISC Front	-6.43%
Perdida ISC Back	-3.22%
Voc Loss Front	-1.19%
Voc Loss Back	-0.89%
FF Loss Front	-0.02%
FF Loss Back	-0.93%
Pmp Loss Front	-7.53%
Pmp Loss Back	-4.96%

For weathered module compared to control, overall luminescence intensity is down to about $\sim 3/4$ of the control, suggesting a loss in voltage. No other obvious patterns or observations when comparing weathered to control.

Handheld Raman Measurement

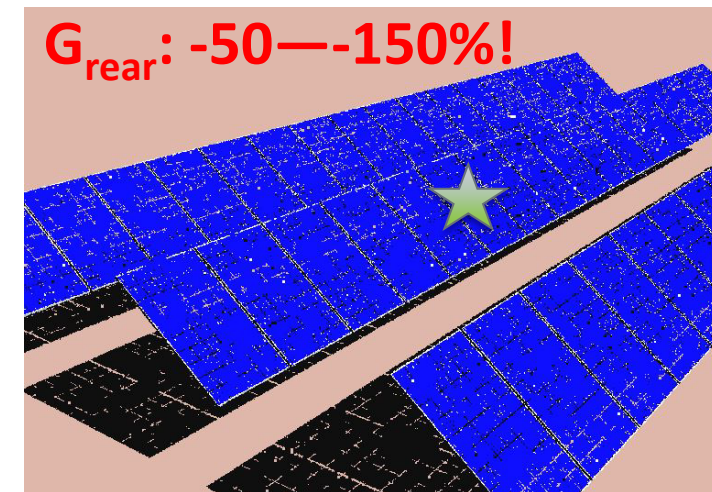
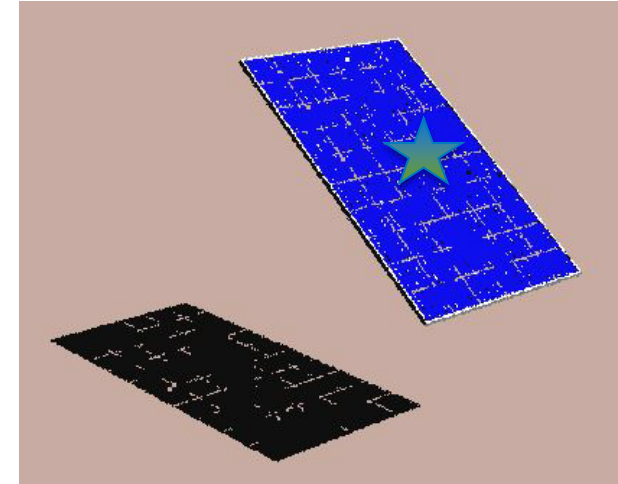
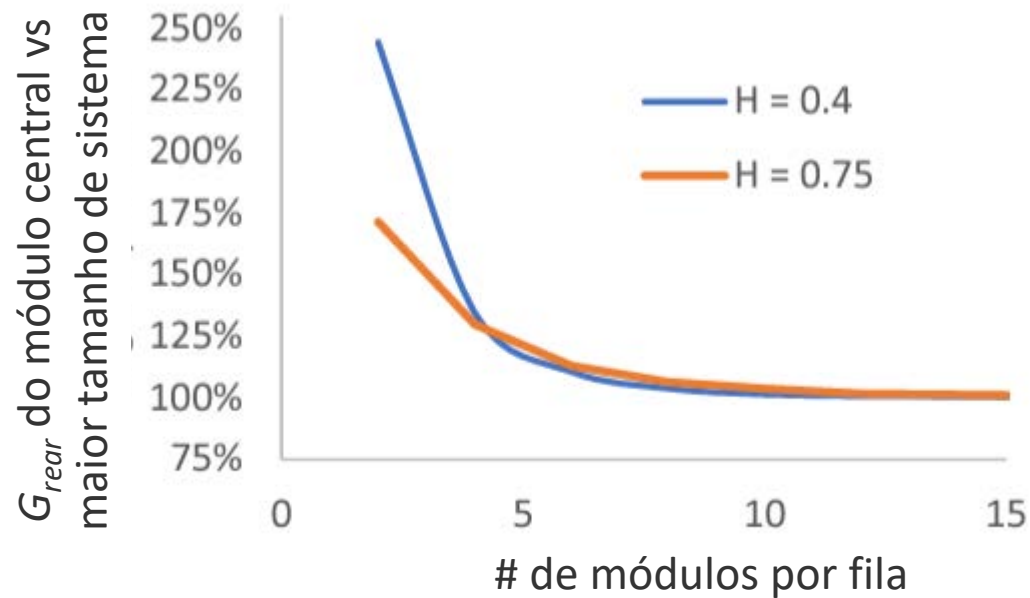




A irradiação no rear-side é muito não uniforme



Tamanho do sistema para estado estável da irradiação



Dados de desempenho ao nível do módulo e da fila

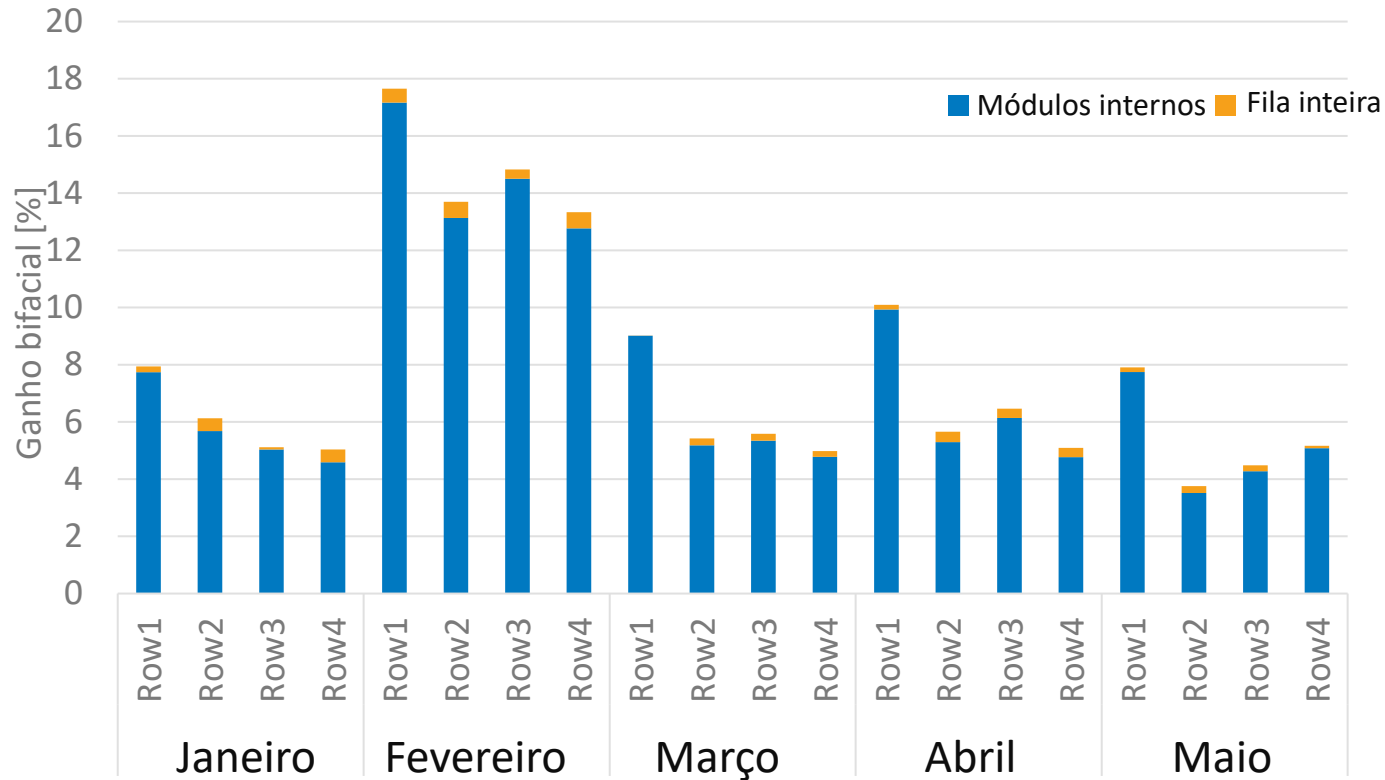


Edge effects incrementam o ganho bifacial em 0.28%

Módulos internos: 4-17



Por fila, por mes



Efeito cumulativo

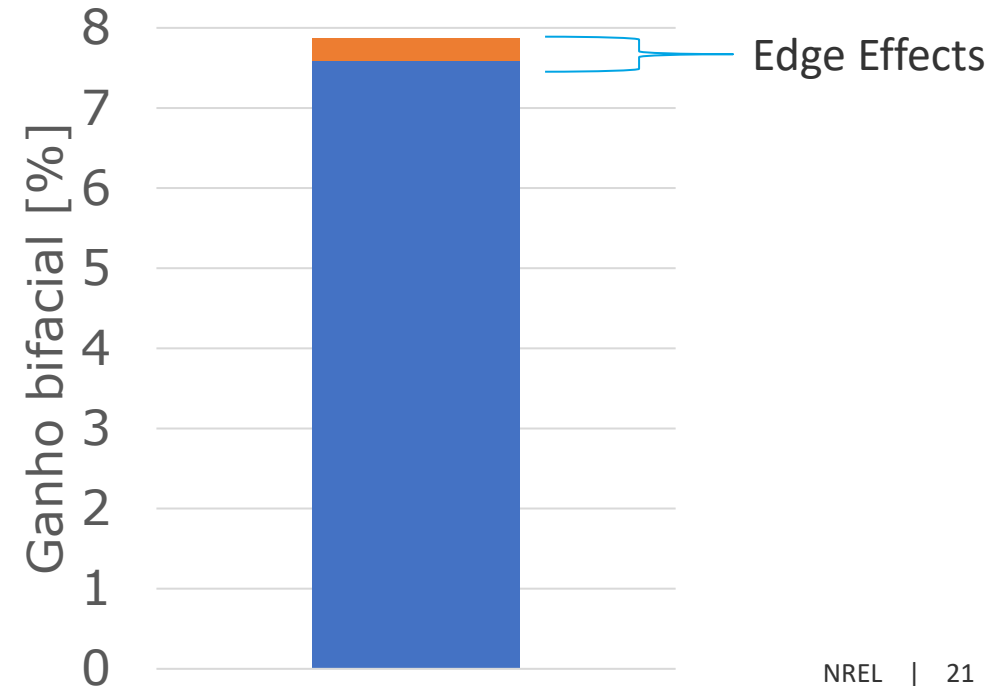




Photo: EDF

A irradiação no rear-side é muito não uniforme

Como medir a distribuição de irradiância no módulo

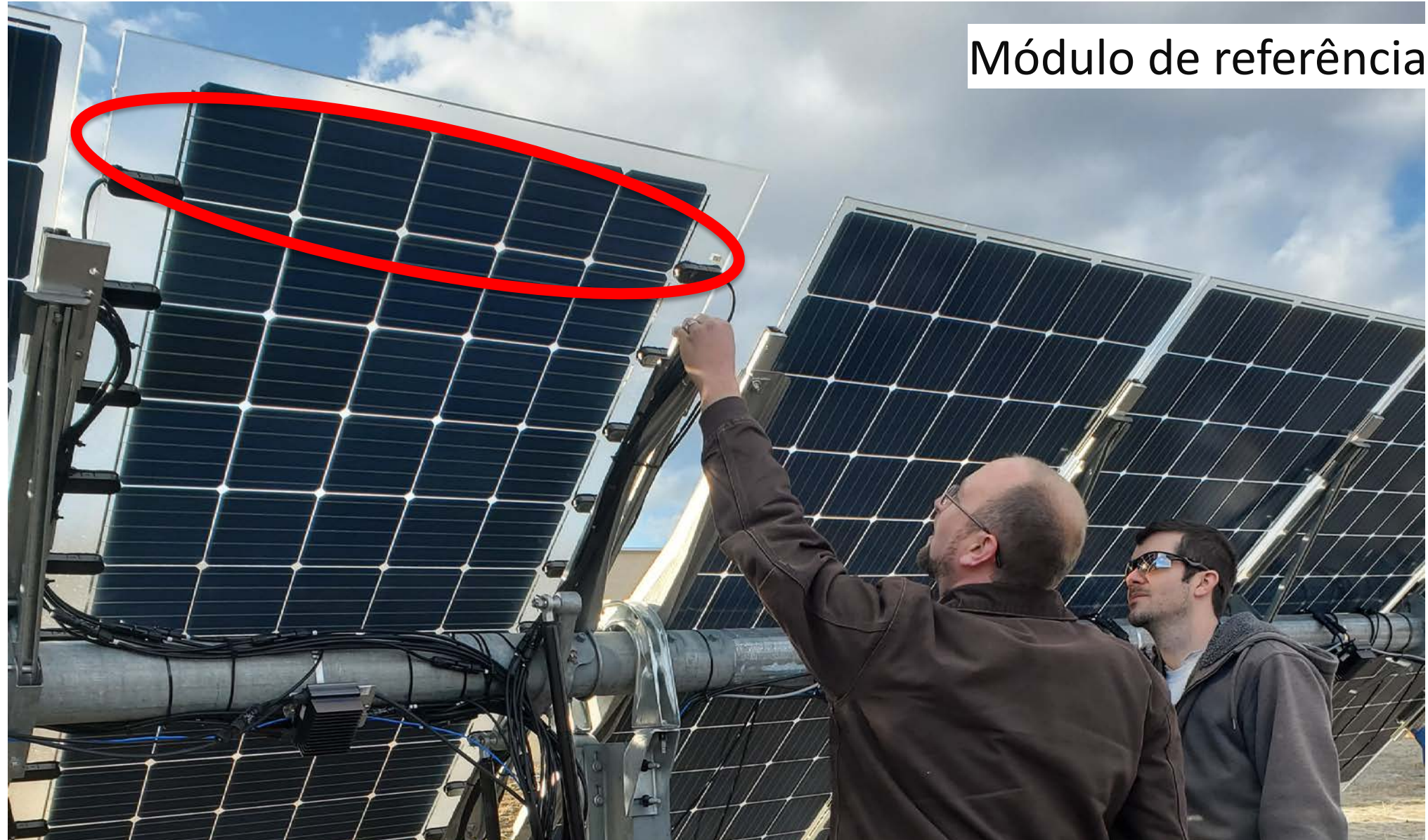


Sensores de irradiância de banda larga



Células de referência

Como medir a distribuição de irradiância no módulo



Módulo de referência

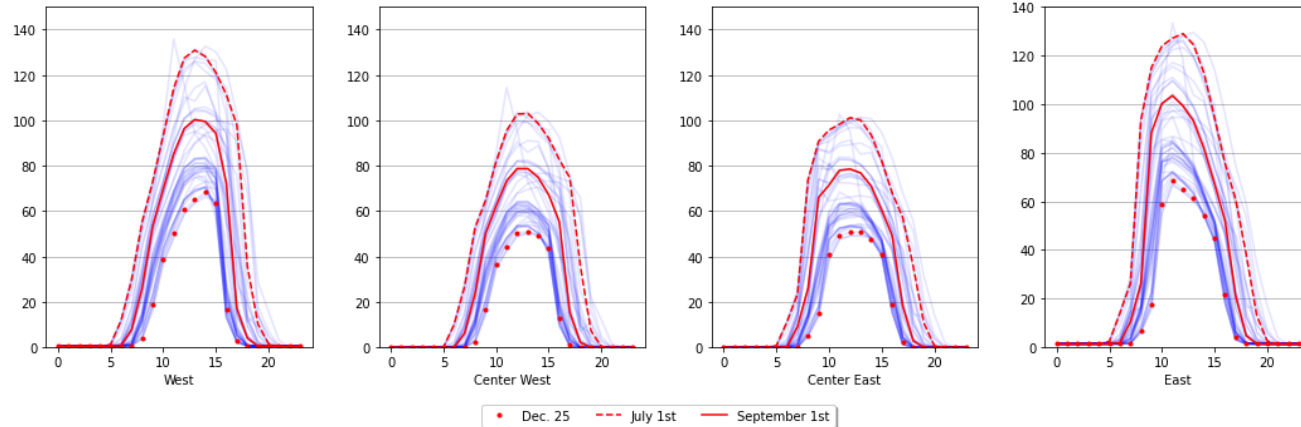
Como medir a distribuição de irradiância no módulo



Este módulo customizado e utilizado para medir o fator de sombreamento (shading factor), e como módulo de referencia para testes de capacidade

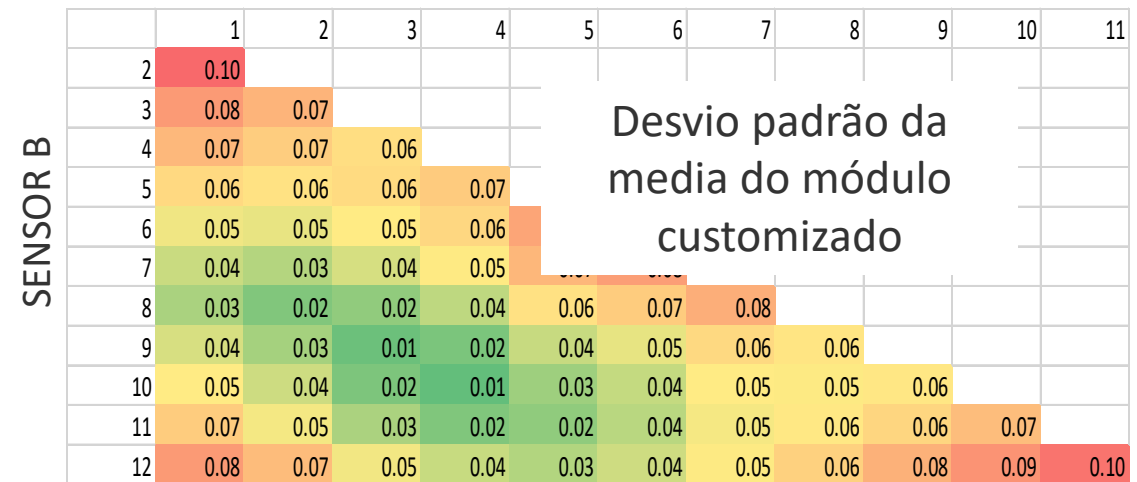
Posicionamiento dos sensores

Dias clear-sky, Outubro 2019-2021



Usar uma combinação de sensores ao longo do módulo pode ajudar a reduzir o desvio das medições

SENSOR A



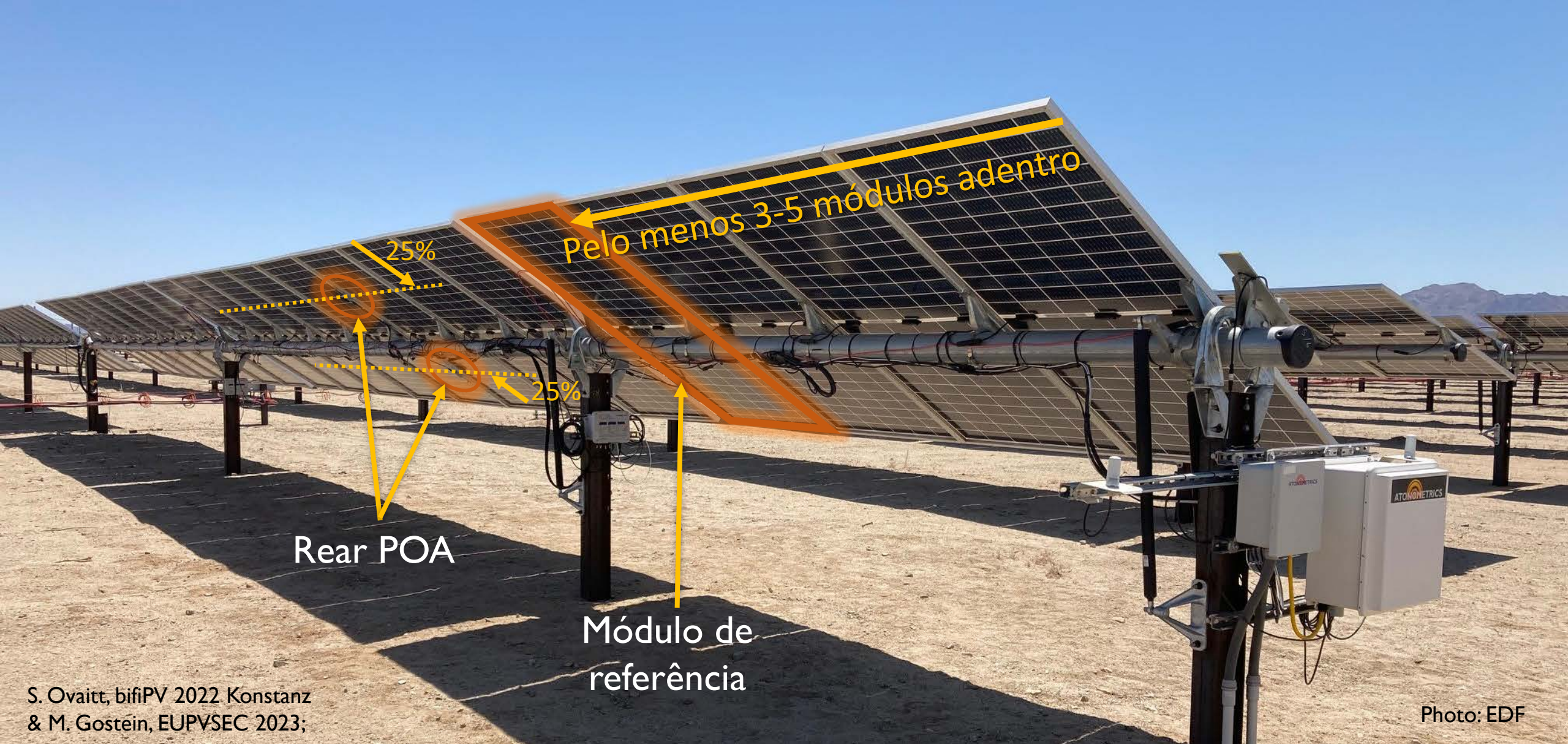
% Diferença com a média das medições das células de referência

Ref. Cell (WEST)	7	-12	-8	13	Ref Cell (EAST)
K&Z CM11	13			30%	Licor



Photo: EDF


A irradiação no rear-side é muito não uniforme



S. Ovaitt, bifiPV 2022 Konstanz
& M. Gostéin, EUPVSEC 2023;

Photo: EDF

Posicionamento dos sensores para medir a irradiância no Rear-side

A photograph of a solar farm. In the foreground, a row of solar panels is tilted upwards. The ground beneath them is covered with grey, rectangular ground reflectors. To the left, another set of solar panels is visible. In the background, there is a modern building with large glass windows and a clear blue sky.

Otimização do albedo

Artificial ground reflector size and position effects on energy yield and economics of SAT bifacial PV
PinPV 2024 <http://doi.org/10.1002/pip.3811>

Otimização do albedo



+5% de ganho no desempenho bifacial

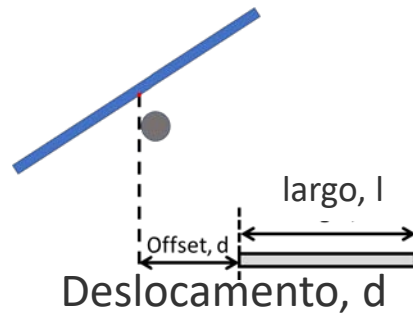
<http://doi.org/10.1002/pip.3811>

Otimização do albedo

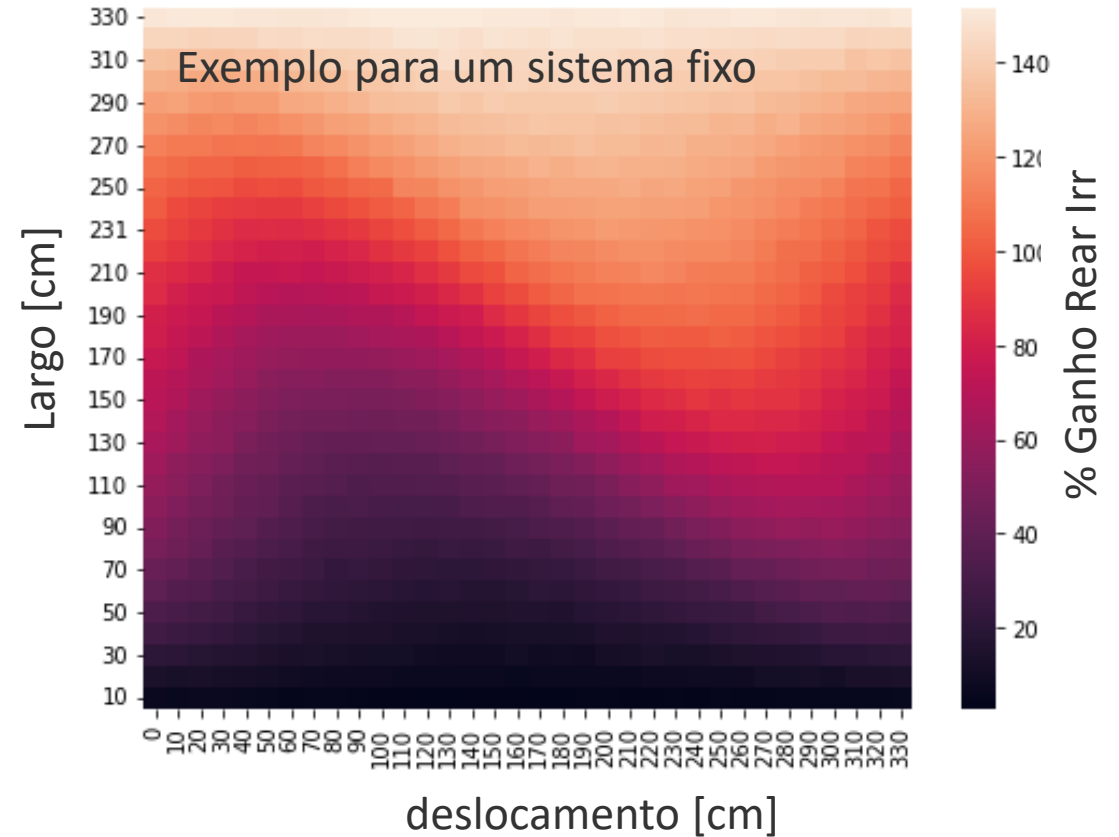


Passo 1: Ganho com os refletores na irradiância

O deslocamento ideal varia com o largo do refletor



$$\% \text{ Ganho Rear Irr.} = \frac{\text{Rear Irr. (com reflector)} - G_{ref}}{G_{ref}} \text{ Rear Irr. (sem reflector)}$$



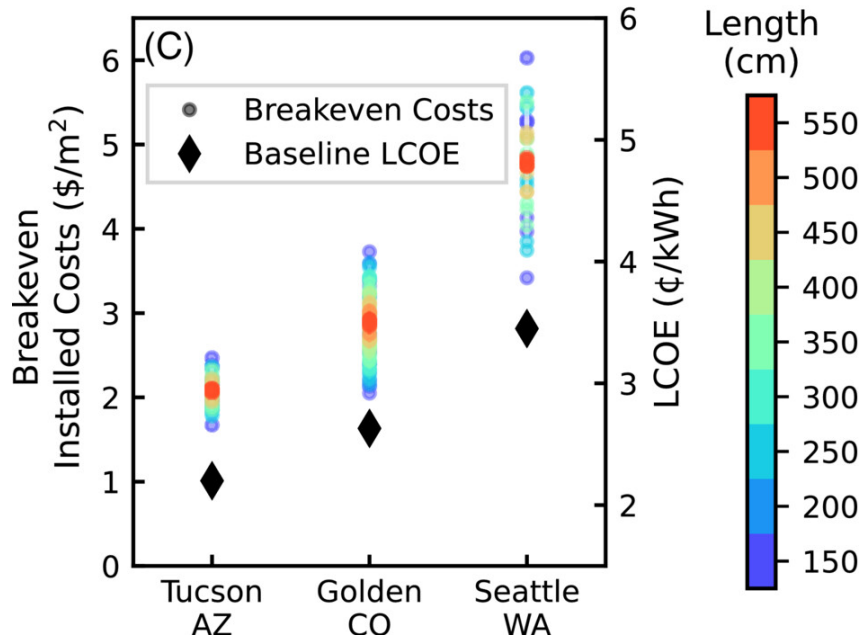
Passo 2: LCOE

$$\text{LCOE (\%)} = \frac{(\text{CAPEX Total (\$)} * \text{CRF}) + \text{O\&M Anual (\$)}}{\text{CF(\%)} * 8760 \text{ hrs/yr} * \text{Tamanho do Sistema (W)}}$$

$$\text{LCOE (}^{\text{com}}\text{/reflector)} = \text{LCOE (refer\^encia)}$$

Análise do Ponto de Equilíbrio

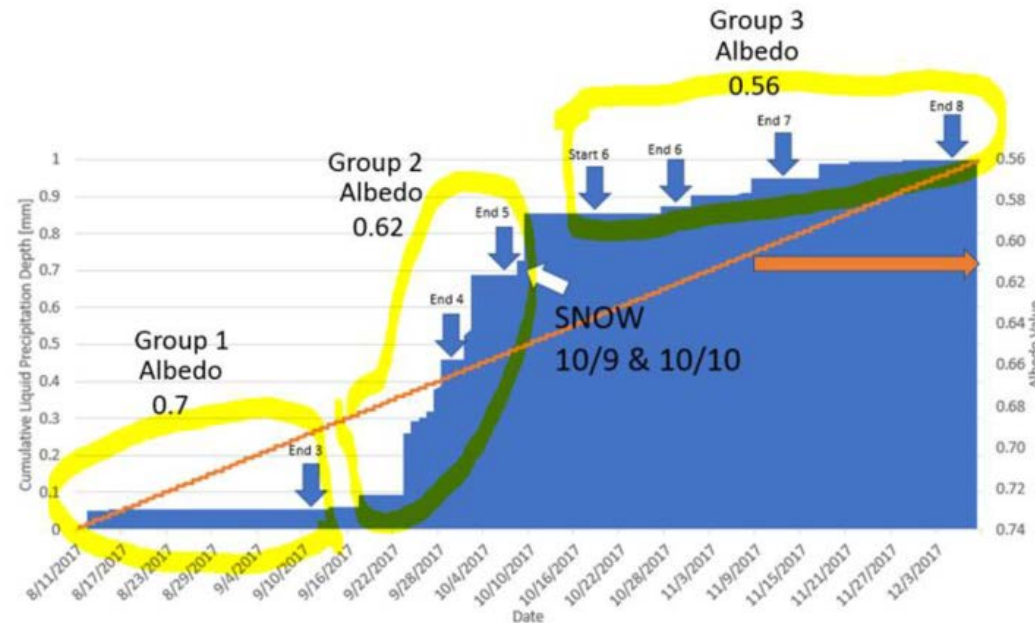
$$\text{CAPEX do Material} = \frac{\text{LCOE} \left(\frac{\$}{\text{Wh}} \right) * \text{CF(\%)} * 8760 \text{ hrs/yr} * \text{Tamanho do Sistema (W)} - \text{O\&M Anual (\$)}}{\text{CRF}} - \text{PV CAPEX}$$



- O posicionamento ideal do refletor é centralizado diretamente sob o tubo de torque
- Em Golden, CO, o ponto de equilíbrio para refletores artificiais é de \$2.50–4.60 /m².
- Custos de material mais altos são possíveis em sistemas com LCOE inicial mais alto, por exemplo \$3.40–6.00/m² para Seattle, WA.
- “Clipping Losses,” o corte do inversor impacta significativamente os sistemas que incorporam refletores artificiais, reduzindo o ganho de energia anual e deslocando o posicionamento ideal dos refletores.

Durabilidade do Albedo

Membrana spray-on, foto original de <https://www.nrel.gov/docs/fy21osti/80863.pdf> e 2 anos depois



Membrana de silicone de alta refletividade para telhados
A sujidade reduziu o albedo de 0.7 pra 0.56 em 4 meses

(S. Ayala Pelaez, JPV 2019)



AgriPV no NREL

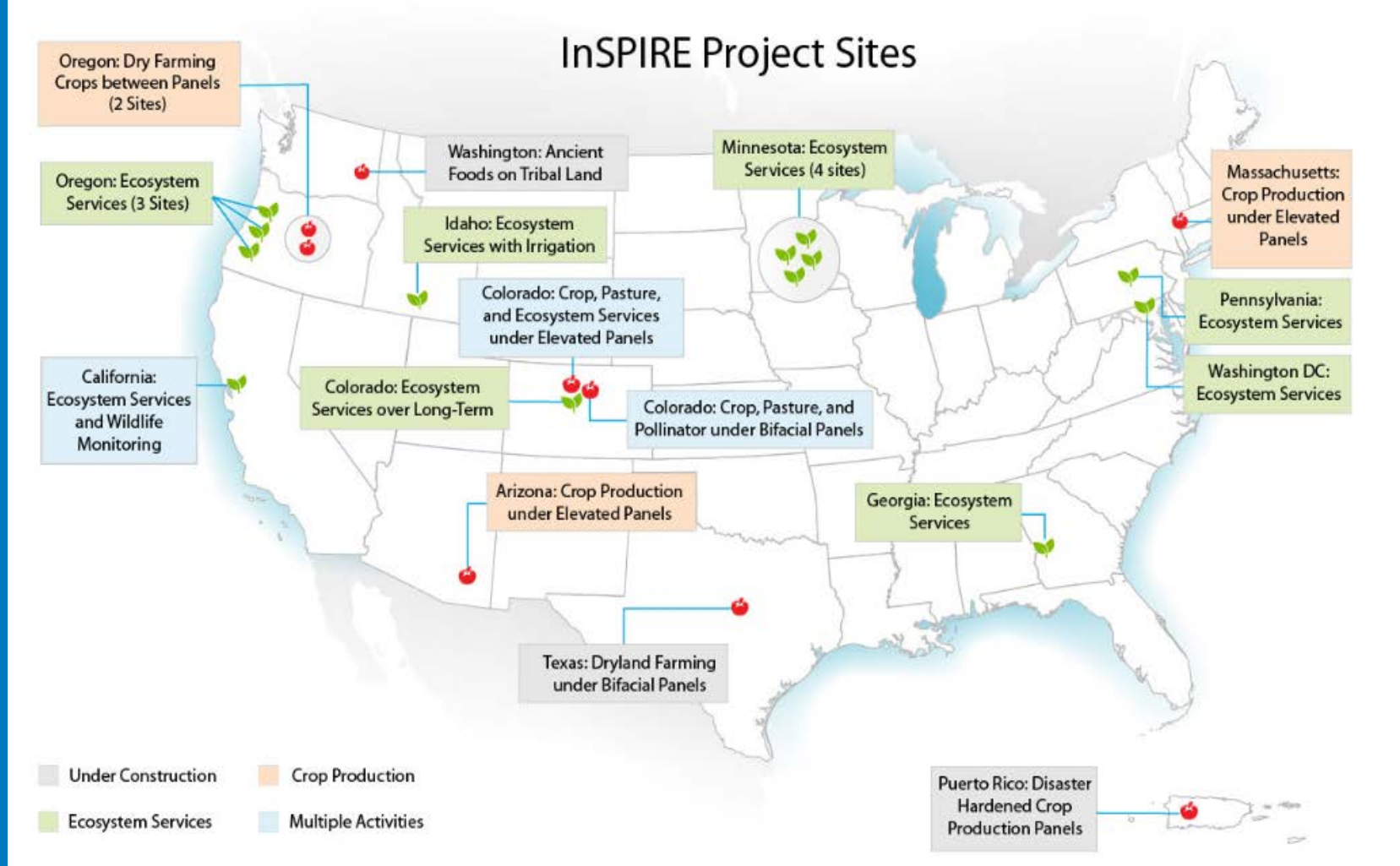
Verões 2022, 2023, 2024

Projeto InSPIRE

Innovative Solar Practices Integrated with Rural Economies and Ecosystems

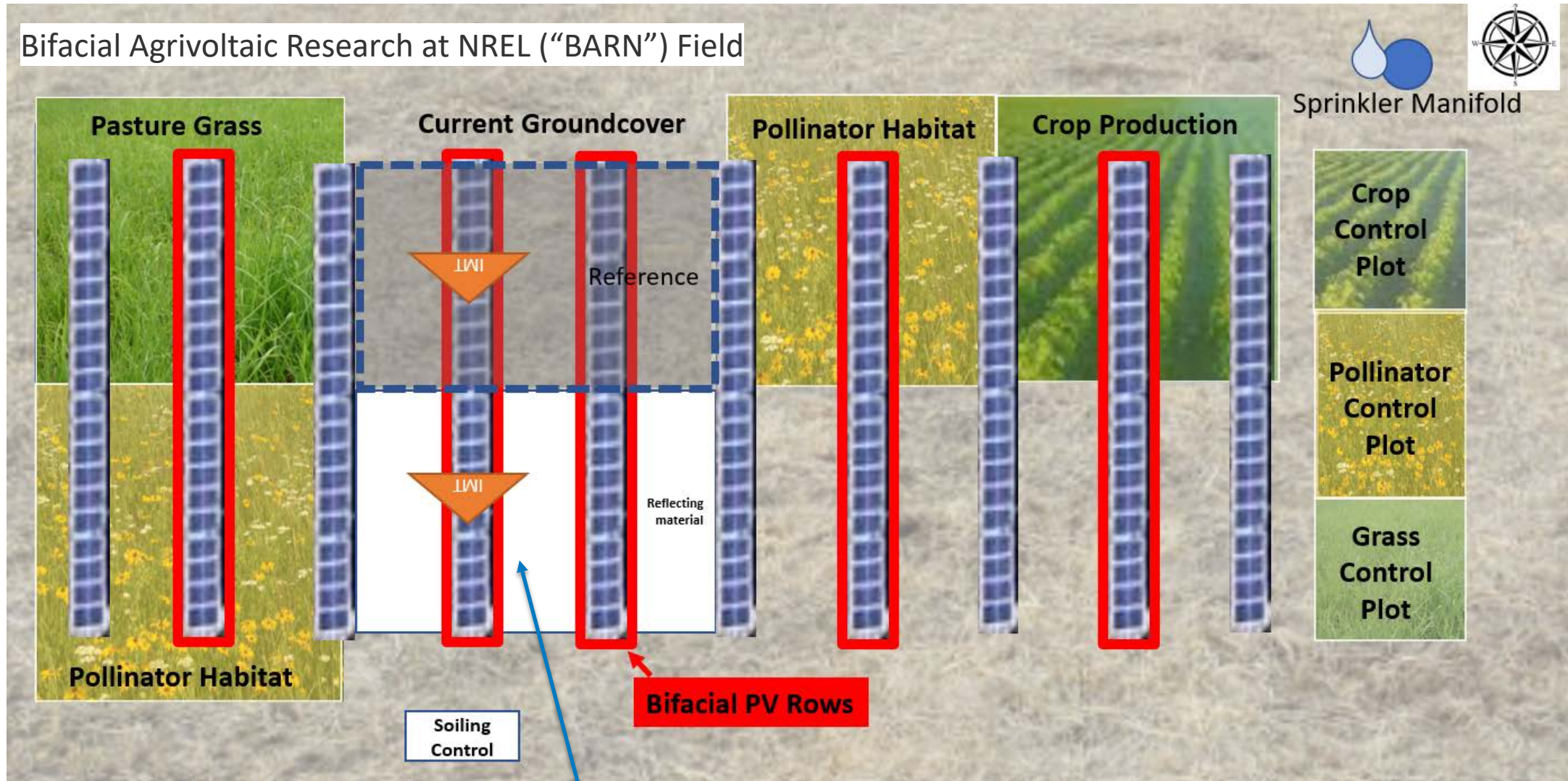
- 24+ projetos de pesquisa de campo ativos
- Mapa interativo rastreia 6+ GW de projetos agriPV nos EUA
- World Agrivoltaic Conference: Denver, Colorado, Jun 19-14

<https://openei.org/wiki/InSPIRE>



AgriPV no campo bifacial de NREL

Bifacial Agrivoltaic Research at NREL ("BARN") Field



Test de Albedo

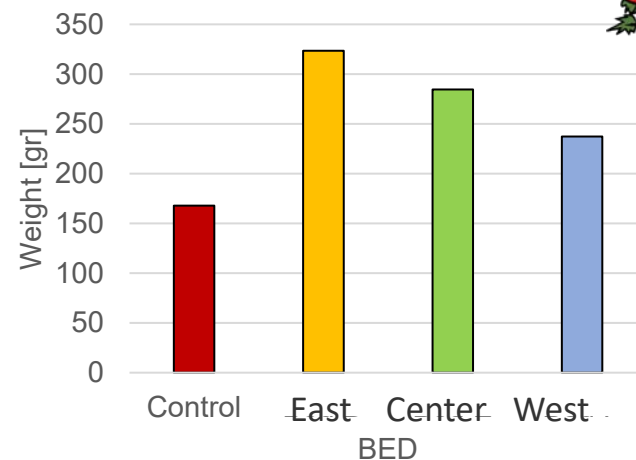
Verão 2023: Resultados

Melhor Desempenho com Base no Peso da Produção

	Controle	Canteiro Leste	Central	Canteiro Oeste
Acelga			x	
Couve		x		
alfavaca				x
Cenoura	x			
Tomate 1		x		
Tomate 2		x		
Pimentão 1				x
Pimentão 2			x	

- A maioria das plantas teve desempenho pelo menos igual entre os painéis solares em comparação com o controle. As cenouras foram as únicas culturas que apresentaram desempenho distintamente melhor no controle.
- O tomate 1 foi colhido mais cedo no controle do que os tomates sob os painéis.
- A alfavaca também floresceu mais cedo no controle

Tomato 1 AVG Weight per Fruit



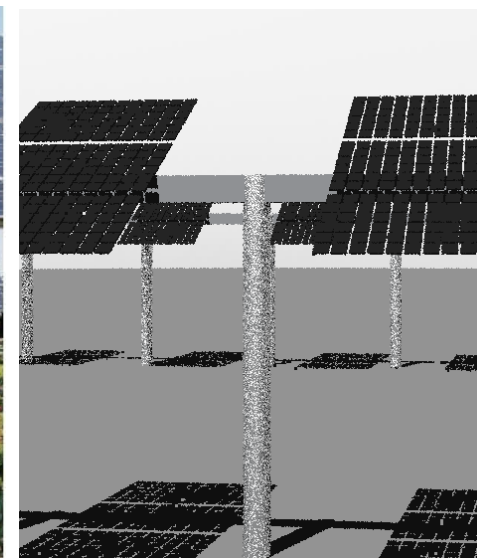
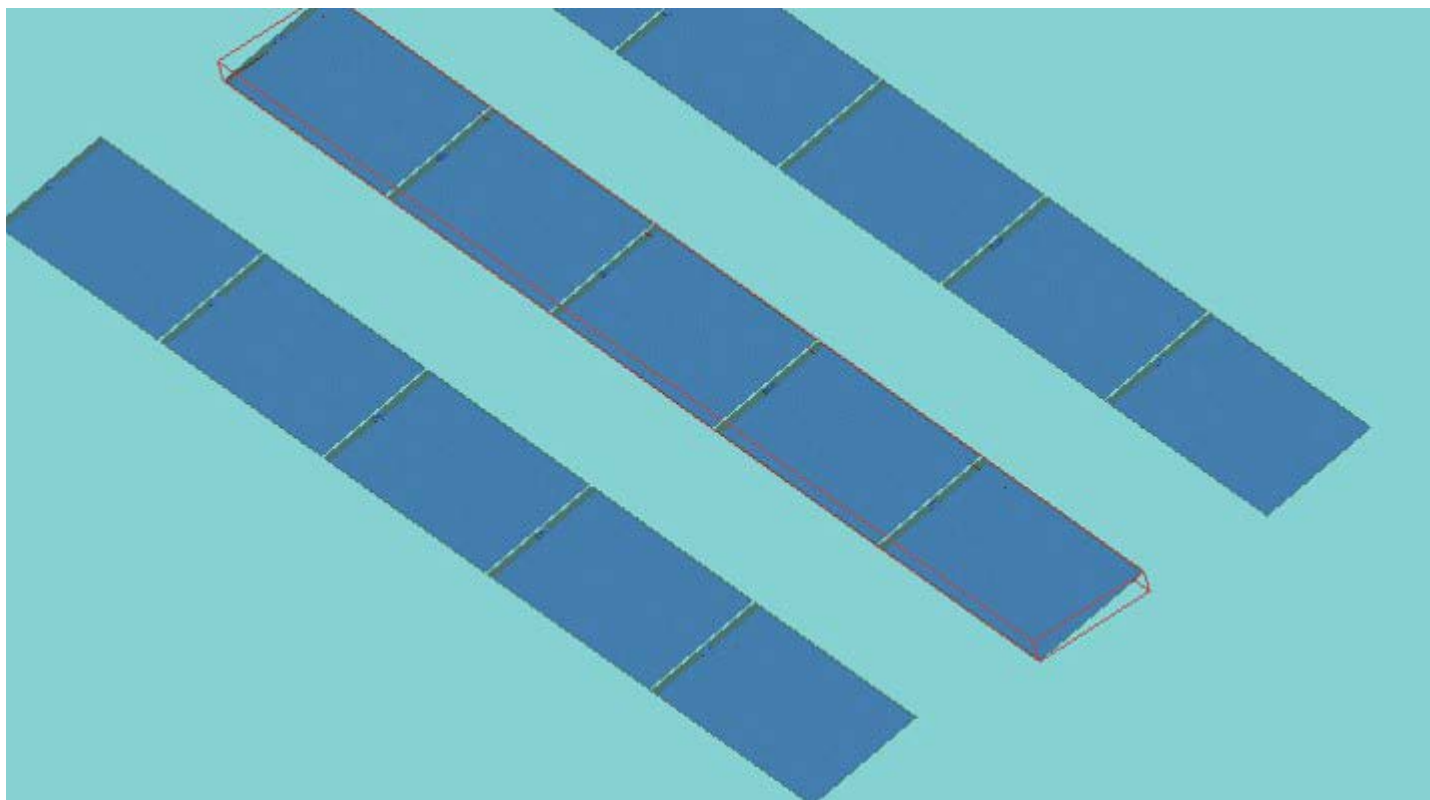
$$\text{Ganho} = \frac{\text{Energia}_{\text{Módulos sobre as p}}}{\text{Energia}_{\text{Módulos de Con}}} = 0\%$$

Ferramentas de Modelagem Bifacial & AgriPV



Ferramenta: Raytracing

https://github.com/NREL/bifacial_radiance



Exemplos AgriPV:



- Peer-reviewed, open source!
- Usa **rastreamento de raios** para avaliar a irradiância (W/m^2) em qualquer lugar, com muita customização!
- Clima \rightarrow Irradiância \rightarrow Energia do Módulo com PVlib



Ferramentas: System Advisor Model (SAM)

Albedo - Sky Diffuse Model - Irradiance Data (Advanced)

Sky Diffuse Model

Isotropic

HDKR

Perez

Weather File Irradiance Data

DNI and DHI

DNI and GHI

GHI and DHI

POA from reference cell

POA from pyranometer

Albedo



Use monthly uniform albedo values

Use monthly spatial albedo values

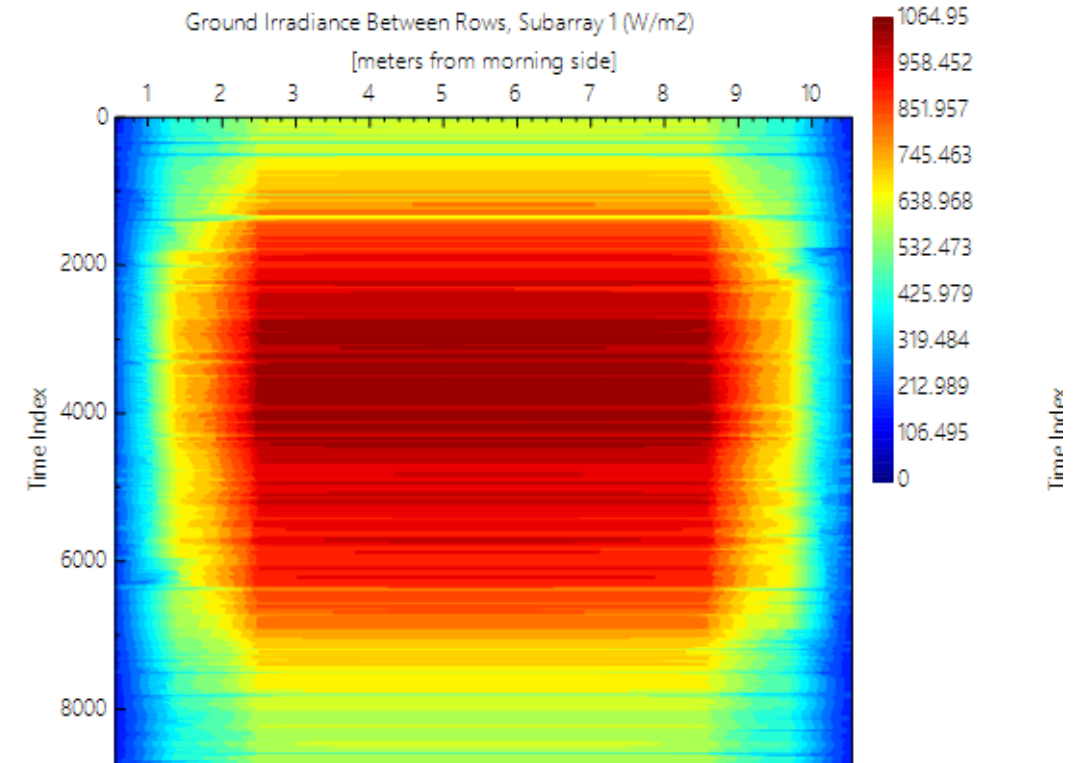
Use uniform albedo from weather file if available

Monthly uniform albedo Edit values...

If "Use uniform albedo from weather file if available" is checked and albedo data in the weather file is valid, SAM uses albedo data from the weather file instead of monthly uniform or spatial values you provide. See Help for details.

Albedos		1	1	2	2	1	3	3	1	1	1	
0:	<input type="text" value="0.2"/>	Jan	1	1	2	2	1	3	3	1	1	1
1:	<input type="text" value="0.2"/>	Feb	1	1	2	2	1	3	3	1	1	1
2:	<input type="text" value="0.28"/>	Mar	1	1	2	2	1	3	3	1	1	1
3:	<input style="border: 2px solid blue;" type="text" value="0.25"/>	Apr	1	1	2	2	1	3	3	1	1	1
4:	<input type="text" value="0.2"/>	May	1	1	2	2	1	3	3	1	1	1
5:	<input type="text" value="0.2"/>	Jun	1	1	2	2	1	3	3	1	1	1
6:	<input type="text" value="0.2"/>	Jul	1	1	2	2	1	3	3	1	1	1
7:	<input type="text" value="0.2"/>	Aug	1	1	2	2	1	3	3	1	1	1
8:	<input type="text" value="0.2"/>	Sep	1	1	2	2	1	3	3	1	1	1
9:	<input type="text" value="0.2"/>	Oct	1	1	2	2	1	3	3	1	1	1
		Nov	1	1	2	2	1	3	3	1	1	1
		Dec	1	1	2	2	1	3	3	1	1	1



Due diligence software para PV
 Acesso programático com pySAM

National Renewable Energy Laboratory

Golden CO, Boulder CO, Washington, DC & Alaska, Fairbanks – +3900 trabalhadores



Energia Renovável

- Solar
- Eólica
- Hídrica
- Geotérmica



Transporte Sustentável e Combustíveis

- Bioenergia
- Hidrogênio e Células de Combustível (Fuel Cells)
- Transporte e Mobilidade



Edifícios e Indústria

- Edifícios
- Eficiência Industrial e Descarbonização
- Materiais Avançados e Manufatura
- Governos Estaduais, Locais e Tribais



Integração de Sistemas Energéticos

- Segurança e Resiliência Energética
- Modernização da Rede Elétrica
- Soluções Energéticas Integradas

Quer colaborar com ou trabalhar em NREL?

- Colaborações são bem-vindas!
- Estágios e empregos → <https://www.nrel.gov/careers/>
- Collaborative appointments
 - Boa opção para colaborações internacionais, com duração de 3 a 6 meses, sendo o estudante apoiado financieramente pela sua universidade. Nós fornecemos mentorship e acesso às instalações do NREL



Thank You

Silvana.Ovaitt@nrel.gov

NREL/PR-5K00-90049

This work was authored by the National Renewable Energy Laboratory, operated by Alliance for Sustainable Energy, LLC, for the U.S. Department of Energy (DOE) under Contract No. DE-AC36-08GO28308. A portion of the research was performed using computational resources sponsored by the Department of Energy's Office of Energy Efficiency and Renewable Energy and located at the National Renewable Energy Laboratory.

The views expressed in the article do not necessarily represent the views of the DOE or the U.S. Government. The U.S. Government retains and the publisher, by accepting the article for publication, acknowledges that the U.S. Government retains a nonexclusive, paid-up, irrevocable, worldwide license to publish or reproduce the published form of this work, or allow others to do so, for U.S. Government purposes.

